

## کا هش آلاینده های CO<sub>x</sub>, NO<sub>x</sub> و SO<sub>x</sub> در کوره های صنعتی

### عطیه نداد<sup>۱</sup>

آدرس محل کار: مشهد- بزرگراه آسیایی- کیلومتر ۳- مجتمع شهید باقری ( منطقه چهار عملیات انتقال گاز)  
naddaf.a@gmail.com

### چکیده

هدف اصلی این تحقیق بهینه سازی عملکرد کوره های احتراقی به منظور کاهش میزان آلاینده های تولید شده در اثر انجام عملیات احتراق است. پارامترهایی که بهینه سازی براساس آنها انجام می شود عبارتند از: درصد هوای اضافی، دمای هوای خروجی از پیش گرمکن و نوع سوخت. در واقع با در نظر گرفتن اثرات این سه عامل ، بهینه سازی به گونه ای انجام می شود که میزان انتشار آلاینده ها به حداقل مقدار خود نزدیک و بهترین سوخت با توجه به پارامترهای فوق انتخاب شود.آلاینده های مورد نظر  $\text{NO}_x$ ,  $\text{CO}_x$  و  $\text{SO}_x$  می باشد و عملیات بهینه سازی بروی سه نوع سوخت "گاز طبیعی، نفت کوره و گازوئیل" انجام شده است.برای انجام عملیات بهینه سازی لازم است تابع هدف که رابطه ای غیر خطی با دمای هوای خروجی از پیش گرمکن و درصد هوای اضافی دارد،به دست آیدروابطی که بیانگر تاثیرات افزایش یا کاهش دمای هوا و درصد هوای اضافی بر میزان تولید سه ترکیب فوق هستند تابع هدف را تشکیل می دهند که این روابط با به کارگیری روشهای برآش اطلاعات تهیه شده اند. به این ترتیب تابع هدف بر اساس نیاز می تواند به هریک از صورتهای زیر نوشته شود:

- 1- کاهش  $\text{CO}_x$ -2. کاهش  $\text{NO}_x$ -3- کاهش  $\text{SO}_x$ -4- کاهش  $\text{CO}_x + \text{NO}_x$ -5- کاهش  $\text{CO}_x + \text{NO}_x + \text{SO}_x$
- روابط به دست آمده توابعی غیر خطی از دما و درصد هوای اضافی هستند و مدل مسئله بهینه سازی بالاستفاده از روش تابع پنالتی که یکی از روش های متدالوی بهینه سازی توابع غیر خطی است حل شده و شرایط بهینه برای به حداقل رساندن ترکیبات آلاینده به دست آمده است. کلیه مراحل فوق توسط یک برنامه کامپیوتری انجام می شود. این نرم افزار با زبان برنامه نویسی MATLAB نوشته شده و قابلیت های این برنامه عبارتند از:

  - محاسبه ترکیبات حاصل از احتراق
  - محاسبه دمای آدیابتیک شعله
  - رسم منحنی هایی که بیانگر تاثیر افزایش یا کاهش دمای هوای پیش گرم شده و درصد هوای اضافی بر دمای آدیابتیک شعله و میزان تولید  $\text{NO}_x$ ,  $\text{CO}_x$  و  $\text{SO}_x$  هستند.
  - محاسبه مقادیر بهینه دمای هوا ای پیش گرم شده و درصد هوای اضافی برای به حداقل رساندن ترکیب آلاینده های مورد نظر.

هریک از این محاسبات برای سه نوع سوخت انجام می شود و در پایان با توجه به نتایج مربوط به هریک از سوخت ها می توان مناسب ترین نوع سوخت را به منظور تولید کمترین میزان آلاینده انتخاب کرد.

**واژه های کلیدی:** بهینه سازی- کوره های احتراقی- کاهش آلاینده های  $\text{CO}_x$ ,  $\text{NO}_x$ ,  $\text{SO}_x$ - هوای اضافی- دمای هوای خروجی از پیش گرمکن- نوع سوخت- دمای آدیابتیک شعله.

## ۱- مقدمه

بهینه سازی عملکرد کوره های منظور کاهش میزان تولید آلینده های حاصل از احتراق، مستلزم انجام محاسبات مربوط به احتراق سوخت در کوره و انجام عملیات بهینه سازی است. با انجام محاسبات احتراق میزان تولید آلینده های موجود در گازهای داغ حاصل از احتراق محاسبه و با استفاده از این نتایج، اطلاعات لازم برای انجام عملیات بهینه سازی به دست می آید. در ادامه مراحل هریک از این محاسبات بیان شده است.

## ۲- محاسبات احتراق

۱- محاسبه کلیه ترکیبات حاصل از احتراق

۲- محاسبه دمای آدیباًتیک شعله

### ۲-۱- محاسبه ترکیبات تعادلی با استفاده از ثابت تعادل

شکل کلی یک واکنش تعادلی به صورت زیر است:

$$v_1 I + v_2 II + \Lambda \Leftrightarrow v_{n+1} (N+1) + v_{n+2} (N+2) + \Lambda \quad (1)$$

در رابطه فوق  $v$  ضریب استوکیومتریک مربوط به واکنش دهنده های محصولات می باشد. به طور کلی اگر سیستمی متشکل از  $C$  جزء و  $S$  ترکیب و  $C-S$  معادله مستقل (واکنش های تعادلی محصولات) داشته باشیم شکل ماتریسی واکنش های تعادلی محصولات با توجه به ضرایب استوکیومتری ترکیبات موجود ( $v_{ij}$ ) به صورت زیر خواهد بود. [1]

$$\begin{array}{ccccc} s_1 & s_2 & s_3 & & s_s \\ \hline r_1 & \left[ \begin{array}{cccccc} v_{11} & v_{12} & v_{13} & \Lambda & \Lambda & v_{1s} \\ v_{21} & v_{22} & v_{23} & \Lambda & \Lambda & v_{2s} \\ v_{31} & v_{32} & v_{33} & \Lambda & \Lambda & v_{3s} \\ M & M & M & & & M \\ M & M & M & & & M \end{array} \right] \\ r_p & \left[ \begin{array}{cccc} v_{p_1} & v_{p_2} & v_{p_3} & v_{p_s} \end{array} \right] \end{array}$$

ثابت تعادل هریک از واکنش های تعادلی رابطه زیر به دست می آید.

$$(K_P)_j = \prod_{i=1}^s (p_i)^{v_{ij}} \quad j=1, 2, \dots, r_p \quad (2)$$

$p_i$  فشار جزئی هر یک از ترکیبات تعادلی می باشد. اگر  $P$  فشار کل،  $T$  دمای محصولات و  $n_T$  تعداد کل مول های محصولات باشد، طبق قانون دالتون (با فرض ایده آل بودن گازها) خواهیم داشت:

$$n_T = \sum_{i=1}^s n_i \quad (3)$$

$$P = \sum_{i=1}^s p_i \quad (4)$$

$$p_i = n_i \frac{P}{n_T} = [I] \frac{RT}{P} \quad (5)$$

در معادله فوق  $[I]$  غلظت جزء ام در تعادل است. بنابر این معادله فوق را می توان به شکل زیر نوشت.

$$(K_P)_j = \left( \frac{P}{n_T} \right)^{\sum_{i=1}^s v_{ij}} \cdot \prod_{i=1}^s (n_i)^{v_{ij}} = \left( \frac{RT}{P} \right)^{\sum_{i=1}^s v_{ij}} \cdot \prod_{i=1}^s [I]^{v_{ij}} \quad (6)$$

$$(K_n)_j = \prod_{i=1}^s (n_i)^{v_{ij}} \quad (7)$$

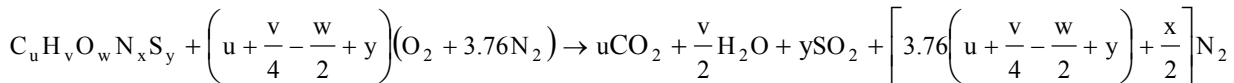
$$(K_c)_j = \prod_{i=1}^s [I]^{v_{ij}} \quad (8)$$

$$(K_n)_j = (K_p)_j \cdot \left( \frac{n_{TC}}{P_0} \right)^{v_{ij}} \quad (9)$$

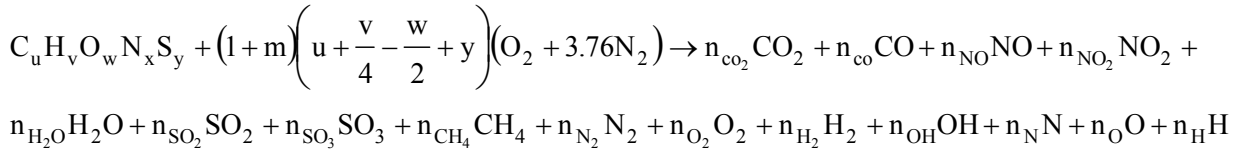
ثابت تعادل ( $K_p$ ) در دماهای متفاوت در جداول ترمودینامیکی موجود است. برای به دست آوردن ترکیب محصولات حاصل از احتراق باشد، محاسبه دمای آدیباتیک شعله ضروری است. زیرا دمای محصولات احتراق همان دمای آدیباتیک شعله است و  $K_p$  در دمای آدیباتیک شعله محاسبه می‌گردد.

### انتخاب سیستم شیمیایی

عناصرقابل اشتعال در سوخت‌های هیدروکربنی اساساً از کربن و هیدروژن تشکیل شده‌اند. ازین رو در محاسبات احتراق عموماً روابط بین کربن، هیدروژن، اکسیژن و محصولات احتراق مطرح می‌شود. به طور کلی می‌توان موازنۀ استوکیومتری احتراق کامل یک سیستم سوختی به صورت  $C-H-O-N-S$  را به شکل زیر در نظر گرفت. [1]

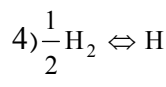


تکمیل کلیه واکنش‌های شیمیایی در مدت معین مستلزم افزایش یکی از مواد ترکیب شونده است. در عمل احتراق هیچ‌گاه سوخت رانمی توان به عنوان ترکیب شونده اضافی به کار برد. لذا اکسیژن یا هوا بیش از مقدار لازم (از نظر معادله شیمیایی) وارد محفظه احتراق می‌گردد. در حالت کلی احتراق سوختی با ترکیب کلی  $C_u H_v O_w N_x S_y$  درصد هوای اضافی نسبت به حالت استوکیومتریک را می‌توان به صورت زیر نوشت:



در چنین حالتی محصولات احتراق در تعادل شیمیایی و گرمایی بایکدیگر قرار دارند و باید با استفاده از روابط تعادلی بین محصولات احتراق مقدار آنها را محاسبه نمود. برای محاسبه ترکیبات تعادلی حاصل از احتراق باید تعداد اجزاء موجود در سوخت ( $C$ ) و تعداد ترکیبات موجود در گازهای حاصل از احتراق ( $S$ ) معین شود. زیرا تعداد واکنش‌های تعادلی مستقل موجود برابر  $C - S$  می‌باشد. از این روبرای سیستم فوق تعداد 10 تعادلی ضروری به نظرمی‌رسد. در ادامه واکنش‌های تعادلی محصولات ارائه شده است.

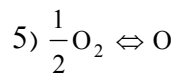
$$\begin{array}{ll}
 1) CO_2 \rightleftharpoons CO + \frac{1}{2} O_2 & K_{p1} = \frac{p_{CO} \cdot p_{O_2}^{\frac{1}{2}}}{p_{CO_2}} \quad K_{n1} = \frac{n_{CO} \cdot n_{O_2}^{\frac{1}{2}}}{n_{CO_2}} \quad \sum_{i=1}^3 v_{i1} = \frac{1}{2} \\
 2) H_2 O \rightleftharpoons H_2 + \frac{1}{2} O_2 & K_{p2} = \frac{p_{H_2} \cdot p_{O_2}^{\frac{1}{2}}}{p_{H_2O}} \quad K_{n2} = \frac{n_{H_2} \cdot n_{O_2}^{\frac{1}{2}}}{n_{H_2O}} \quad \sum_{i=1}^3 v_{i2} = \frac{1}{2} \\
 3) H_2 O \rightleftharpoons \frac{1}{2} H_2 + OH & K_{p3} = \frac{p_{H_2}^{\frac{1}{2}} \cdot p_{OH}}{p_{H_2O}} \quad K_{n3} = \frac{n_{H_2}^{\frac{1}{2}} \cdot n_{OH}}{n_{H_2O}} \quad \sum_{i=1}^3 v_{i3} = \frac{1}{2}
 \end{array}$$



$$K_{P4} = \frac{p_H}{\frac{1}{p_{H_2}^2}}$$

$$K_{n4} = \frac{n_H}{\frac{1}{n_{H_2}^2}}$$

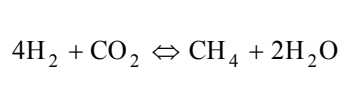
$$\sum_{i=1}^4 v_{i4} = \frac{1}{2}$$



$$K_{P5} = \frac{p_O}{\frac{1}{p_{O_2}^2}}$$

$$K_{n5} = \frac{n_O}{\frac{1}{n_{O_2}^2}}$$

$$\sum_{i=1}^2 v_{i5} = \frac{1}{2}$$

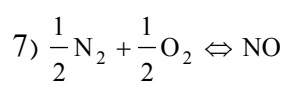


$$K_{P6} = \frac{p_{CH_4} \cdot p_{H_2O}^2}{p_{H_2}^4 \cdot p_{CO_2}}$$

$$K_{n6} = \frac{n_{CH_4} \cdot n_{H_2O}^2}{n_{H_2}^4 \cdot n_{CO_2}}$$

$$\sum_{i=1}^4 v_{i6} = -2$$

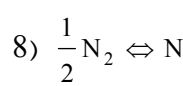
6)



$$K_{P7} = \frac{p_{NO}}{\frac{1}{p_{N_2}^2} \cdot \frac{1}{p_{O_2}^2}}$$

$$K_{n7} = \frac{n_{NO}}{\frac{1}{n_{N_2}^2} \cdot \frac{1}{n_{O_2}^2}}$$

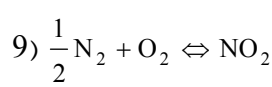
$$\sum_{i=1}^3 v_{i7} = 0$$



$$K_{P8} = \frac{p_N}{\frac{1}{p_{N_2}^2}}$$

$$K_{n8} = \frac{n_N}{\frac{1}{n_{N_2}^2}}$$

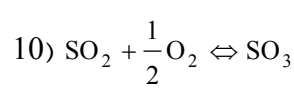
$$\sum_{i=1}^2 v_{i8} = \frac{1}{2}$$



$$K_{P9} = \frac{p_{NO_2}}{\frac{1}{p_{N_2}^2} \cdot p_{O_2}}$$

$$K_{n9} = \frac{n_{NO_2}}{\frac{1}{n_{N_2}^2} \cdot n_{O_2}}$$

$$\sum_{i=1}^3 v_{i9} = -\frac{1}{2}$$



$$K_{P10} = \frac{p_{SO_3}}{\frac{1}{p_{O_2}^2} \cdot p_{SO_2}}$$

$$K_{n10} = \frac{n_{SO_3}}{\frac{1}{n_{O_2}^2} \cdot n_{SO_2}}$$

$$\sum_{i=1}^3 v_{i10} = -\frac{1}{2}$$

شکل ماتریسی این واکنش‌های تعادلی به صورت زیر می‌باشد.

	CO <sub>2</sub>	CO	NO	NO <sub>2</sub>	H <sub>2</sub> O	SO <sub>2</sub>	SO <sub>3</sub>	CH <sub>4</sub>	N <sub>2</sub>	O <sub>2</sub>	H <sub>2</sub>	OH	N	O	H	$\sum v_{ij}$
$r_1$	-1	1	0	0	0	0	0	0	0	1/2	0	0	0	0	0	1/2
$r_2$	0	0	0	0	-1	0	0	0	0	1/2	1	0	0	0	0	1/2
$r_3$	0	0	0	0	-1	0	0	0	0	0	1/2	0	0	0	1	1/2
$r_4$	0	0	0	0	0	0	0	0	0	0	-1/2	0	0	0	1	1/2
$r_5$	0	0	0	0	0	0	0	0	0	-1/2	-1/2	1/2	0	1	0	1/2
$r_6$	-1	0	0	0	2	0	0	1	0	0	-4	0	0	0	0	-2
$r_7$	0	0	0	0	0	0	0	-1/2	0	0	0	0	1	0	0	1/2
$r_8$	0	0	1	0	0	0	0	-1/2	-1/2	0	0	0	0	0	0	0
$r_9$	0	0	0	1	0	0	0	-1/2	1/2	0	0	0	0	0	0	1
$r_{10}$	0	0	0	0	0	-1	1	0	0	-1/2	0	0	0	0	0	-1/2

تعداد ترکیبات حاصل از احتراق طبق معادله اصلی برابر 15 می باشد و تعداد 10 معادله تعادلی به دست آمده است، لذا 5 معادله دیگر برای به دست آوردن کل ترکیبات لازم است که این معادلات از برقراری موازنۀ اتم گرم هریک از عناصر سیستم (C-H-O-N-S) به دست می آید. ماتریسی که با استفاده از آن می توان معادلات مربوط به موازنۀ جرم را به دست آورد به صورت زیر می باشد.

	C	H	O	N	S	CO <sub>2</sub>	CO	NO	NO <sub>2</sub>	H <sub>2</sub> O	SO <sub>2</sub>	SO <sub>3</sub>	CH <sub>4</sub>	N <sub>2</sub>	O <sub>2</sub>	H <sub>2</sub>	OH
C	1	0	0	0	0	1	1	0	0	0	0	0	1	0	0	0	0
H	0	1	0	0	0	0	0	0	2	0	0	4	0	0	2	1	
O	0	0	1	0	0	2	1	1	2	1	2	3	0	0	2	0	1
N	0	0	0	1	0	0	0	1	1	0	0	0	0	2	0	0	0
S	0	0	0	0	1	0	0	0	0	0	1	1	0	0	0	0	0

با توجه به ماتریس فوق موازنی جرمی برای عناصر S, N, O, H, C به صورت زیر خواهد بود.

$$N_C = n_C + n_{CO_2} + n_{CO} + n_{CH_4}$$

$$N_H = n_H + 2n_{H_2O} + 4n_{CH_4} + 2n_{H_2} + n_{OH}$$

$$N_O = n_O + 2n_{CO_2} + n_{CO} + n_{NO} + 2n_{NO_2} + n_{H_2O} + 2n_{SO_2} + 3n_{SO_3} + n_{O_2} + n_{OH}$$

$$N_N = n_N + n_{NO} + n_{NO_2} + n_{N_2}$$

$$N_S = n_S + n_{SO_2} + n_{SO_3}$$

از جمع بندی معادلات حاصل از روابط مربوط به واکنش های تعادلی محصولات احتراق و موازنی اتم گرم عناصر تشکیل دهنده سوخت دستگاه معادلات زیر به دست می آید.

$$1) n_{CO_2} = K_{n1}^{-1} \cdot n_{CO} \cdot n_{O_2}^{\frac{1}{2}}$$

$$2) n_{H_2O} = K_{n2}^{-1} \cdot n_{H_2} \cdot n_{O_2}^{\frac{1}{2}}$$

$$3) n_{OH} = K_{n3} \cdot n_{H_2}^{-\frac{1}{2}} \cdot n_{H_2O}$$

$$4) n_{H_2} = K_{n4}^{-2} \cdot n_H^2$$

$$5) n_{O_2} = K_{n5}^{-2} \cdot n_O^2$$

$$6) n_{CH_4} = K_{n6} \cdot n_{H_2}^4 \cdot n_{CO_2} \cdot n_{H_2O}^{-2}$$

$$7) n_N = K_{n7} \cdot n_{N_2}^{\frac{1}{2}}$$

$$8) n_{NO} = K_{n8} \cdot n_{N_2}^{\frac{1}{2}} \cdot n_{O_2}^{\frac{1}{2}}$$

$$9) n_{NO_2} = K_{n9} \cdot n_{N_2}^{\frac{1}{2}} \cdot n_{O_2}$$

$$10) n_{SO_2} = K_{n10} \cdot n_{SO_3} \cdot n_{O_2}^{\frac{1}{2}}$$

$$11) u = n_{CO_2} + n_{CO} + n_{CH_4}$$

$$12) v = 2n_{H_2O} + 4n_{CH_4} + 2n_{H_2} + n_{OH}$$

$$13) w + 2 \left( 1 + \frac{m}{100} \right) \left( u + \frac{v}{4} - \frac{w}{2} + y \right) = 2n_{CO_2} + n_{CO} + n_{NO} + 2n_{NO_2} + n_{H_2O} + 2n_{SO_2} + 3n_{SO_3} + 2n_{O_2} + n_{OH} + n_O$$

$$14) x + 2 \times 3.76 \times \left( 1 + \frac{m}{100} \right) \left( u + \frac{v}{4} - \frac{w}{2} + y \right) = n_{NO} + n_{NO_2} + 2n_{N_2} + n_N$$

$$15) \quad y = n_{SO_2} + n_{SO_3}$$

معادلات فوق تشکیل یک دستگاه معادلات غیر خطی<sup>۱</sup> می‌دهند که با حل همزمان این دسته معادلات مقادیر گازهای حاصل از احتراق به دست می‌آید. برای حل این دستگاه می‌توان از روش نیوتن- رفسون استفاده کرد.

## 2- محاسبه دمای آدیباتیک شعله

اگر فرایند احتراق سوخت و هوا آدیباتیک فرض شود، به عبارت دیگر تمام حرارت احتراق به محصولات واکنش منتقل گردد،

دمای محصولات احتراق را دمای تئوری شعله می‌نامند.[2]

چون کل تغییرات آنتالپی مستقل از مسیر فرآیند بوده و فقط به شرایط ابتدایی و انتهایی بستگی دارد، حرارت احتراق را می‌توان به صورت زیر تعیین نمود.

$$\Delta H_c = \Delta H_p - \Delta H_R \quad (10)$$

در عبارت فوق  $\Delta H_c$  نشان دهنده حرارت احتراق و  $\Delta H_p$  و  $\Delta H_R$  به ترتیب تغییرات آنتالپی مواد واکنش کننده و محصولات نسبت به یک دمای مرجع می‌باشد.  $\Delta H_c$  حرارت احتراق در دمای مرجع است و دمای مرجع معمولاً ۶۰°F اختیار می‌شود.

$$\Delta H_c = -m_f \cdot NHV \quad (11)$$

در این رابطه  $m_f$  جرم و  $NHV$  ارزش حرارتی خالص مخلوط سوخت در atm ۱ و ۶۰°F می‌باشد. واکنش دهنده‌ها از سوخت مصرفی و هوای ورودی تشکیل شده اند. بنابراین:

$$\Delta H_R = \Delta H_{air} + \Delta H_f \quad (12)$$

$$\Delta H_R = \sum_i \left( n_{f,i} \int_{T_{f,i}}^{60} c_{p,i} dT \right) + n_{air} c_{p,air} (60 - T_{air}) \quad (13)$$

تغییرات آنتالپی سوخت و  $n_{f,i}$  و  $T_{f,i}$  به ترتیب تعداد مول‌ها و دمای واکنش دهنده‌ها است.  $\Delta H_p$  نیز رابطه زیر محاسبه می‌شود.

$$\Delta H_p = \sum_j \left( n_{p,j} \int_{60}^{T_{af}} c_{p,j} dT \right) \quad (14)$$

$n_{p,j}$  تعداد مول‌های محصولات و  $T_{af}$  دمای محصولات احتراق یا دمای شعله است. انتگرال‌های فوق رامی‌توان با به کاربردن تعريف  $Cp_m$  و یا با استفاده از مقادیر  $Cp$  مربوط به هریک از اجزاء محاسبه نمود. در محاسبات کامپیوتري روش اخیر مناسب تر است. برای مثال  $\Delta H_p$  را می‌توان با رابطه زیر تعیین نمود.

$$\Delta H_p = A(T_{af} - 60) + \frac{B}{2}(T_{af}^2 - 60^2) + \frac{C}{3}(T_{af}^3 - 60^3) + \frac{D}{4}(T_{af}^4) \quad (15)$$

$$A = \sum_j n_{p,j} a_j \quad (16)$$

تعاریف مشابهی برای  $D$ ،  $C$ ،  $B$  و  $A$  نیز می‌توان نوشت. ضریب  $A_j$  و ضرایب مشابه آن از منابع موجود در این زمینه قابل استخراج است. چون گرمای ویژه محصولات احتراق به دمای شعله وابسته است، تعیین دمای شعله به روش حدس و خطای صورت می‌گیرد. بدین ترتیب که در ابتدا یک دما حدس زده شده و گرمای ویژه محصولات در این دما محاسبه می‌گردد. سپس رابطه ۱۰ را به شکل زیر بازنویسی کرده و برای حل از روش نیوتن<sup>۳</sup> استفاده می‌شود.

1- Non Linear System of Equations

2-Net Heating Value

3-Newton's Method

$$\Delta H = \Delta H_c - \Delta H_p + \Delta H_R \quad (17)$$

اگر ( $T_{af}^*$ ) دمای حدس زده باشد دمای جدید  $T_{af}$  با رابطه زیر مشخص می شود.

$$T_{af} = T_{af}^* - \frac{\Delta H(T_{af}^*)}{\Delta H'(T_{af}^*)} \quad (18)$$

برای این که حل معادله همگرا شود، باید شرط زیر برقرار شود. (ع خطای مورد قبول)

$$\left| \frac{T_{af} - T_{af}^*}{T_{af}^*} \right| < \epsilon \quad (19)$$

به طور خلاصه مراحل به دست آوردن دمای آدیباتیک شعله و تعداد مول های گازی حاصل از احتراق به صورت زیر است.

1- از آنجا که دمای محصولات احتراق همان دمای آدیباتیک شعله است. لذا در ابتدا حدس اولیه ای برای دمای آدیباتیک شعله در نظر گرفته می شود.

2- با معلوم بودن دمای آدیباتیک شعله مقدار  $K_p$  برای هریک از واکنش های تعادلی که به صورت تابعی از دما می باشد، محاسبه می گردد.

3- با معلوم بودن فشار احتراق و حدس اولیه برای تعداد کل مول های گازی حاصل از احتراق، مقدار  $n_T$  برای هریک از واکنش ها قابل محاسبه است. مناسب ترین حدس اولیه برای تعداد کل مول های حاصل از احتراق حالت استوکیومتری است.

4- با برقراری موازن اتم گرم هریک از عناصر سیستم و معادلات تعادلی، دستگاه معادلات غیر خطی به دست می آید که از حل همزمان این معادلات تعداد مول های محصولات در دمای حدس زده به دست می آید. در صورتی که مجموع مولهای به دست آمده در این قسمت ( $n_T$ ) با حدس اولیه برابر بود، دمای آدیباتیک شعله را با توجه به مقدار جدید  $n_T$  به دست می آوریم و با حدس اولیه دما مورد مقایسه قرار می دهیم. در غیر این صورت مقدار  $n_T$  را مجدداً با مقدار جدید  $n_T$  محاسبه کرده و تا زمانی که این دو مقدار با یکدیگر برابر شوند این محاسبه ادامه پیدا می کند.

### تأثیر دمای هوا و هوای اضافی بر تولید محصولات

برای بهینه کردن عملیات احتراق و کاهش تولید گازهای آلاینده در گازهای حاصل از احتراق می توان از دو پارامتر دمای هوا و میزان هوای اضافی استفاده کرده و با تغییر این دو پارامتر و بررسی نتایج حاصل از این تغییرات به بهترین شرایط احتراقی برای کاهش تولید آلاینده ها دست یافت. در قسمت قبل ترکیب گازهای حاصل از احتراق با حل همزمان دستگاه معادلات غیر خطی و با استفاده از روابط مربوط به محاسبه دمای شعله به دست آمد. در این روابط دو پارامتر دمای هوا (رابطه شماره 13) و میزان هوای اضافی (رابطه شماره 14) در دستگاه معادلات غیر خطی به چشم می خورد. هنگام حل این معادلات می توان دمای هوا و درصد هوای اضافی را به دفعات تغییر داد و نتایج حاصل از این تغییرات را مشاهده کرد. پس از انجام محاسبات فوق منحنی هایی که نشان دهنده اثرات تغییرات دما و هوای اضافی بر میزان تولید آلاینده ها است رسم می شود. به کمک این منحنی ها می توان تابع هدف را به منظور انجام عملیات بهینه سازی تشکیل داد.

### 3- محاسبات مربوط به تشکیل تابع هدف و عملیات بهینه سازی

در مسائل بهینه سازی فرمولاسیون مهمترین قسمت می باشد. برای فرمولاسیون احتیاج به مشخص کردن عناصر اصلی و سازماندهی آنها به شکل یک تابع ریاضی می باشد که رابطه مورد نظر تابع هدف نام دارد. با انجام محاسبات احتراق و اعمال تأثیرات ناشی از تغییر دمای هوای خروجی از پیش گرمن کن و درصد هوای اضافی بر میزان تولید آلاینده های موردنظر، روابطی که نشان دهنده این تغییرات است به دست می آید. این روابط تابعی از دمای هوا و درصد هوای اضافی بوده و اطلاعات لازم برای تشکیل تابع هدف می باشند.

### 1-3- تشكيل تابع هدف

متغيرهای پيوسته مورد نظر برای تشكيل تابع هدف دمای هوا و درصد هوای اضافی و متغير گسسته نوع سوخت است و شکل کلی تابع هدف به صورت زیر است.

Objective Function=F (Tair,Excess air,Fuel Type)

مقدار عددی تابع هدف را می توان نرخ تولید هريک از آلایinde های مورد نظر ويا جمع نرخ توليدکل آلایinde ها(SO<sub>x</sub>,CO<sub>x</sub>) در نظر گرفت.لذا 5 گزینه برای تشكيل تابع هدف وجود دارد:

- |  |    |
|--|----|
| تابعی با هدف به حداقل رساندن مقدار CO <sub>x</sub> .                                 | -1 |
| تابعی با هدف به حداقل رساندن مقدار NO <sub>x</sub> .                                 | -2 |
| تابعی با هدف به حداقل رساندن مقدار SO <sub>x</sub> .                                 | -3 |
| تابعی با هدف به حداقل رساندن مجموع NO <sub>x</sub> CO <sub>x</sub>                   | -4 |
| تابعی با هدف به حداقل رساندن مجموع SO <sub>x</sub> و NO <sub>x</sub> CO <sub>x</sub> | -5 |

### 1-1-3- تشكيل مدل تابع هدف

اگر رابطه تابع هدف را به صورت یک چندجمله ای غیر خطی از دما و درصد هوای اضافی فرض کنیم این رابطه به شکل زیر خواهد بود.

$$\text{Objective Function} = \beta + \sum_{i=1}^n a_i T^i + \sum_{j=1}^m b_j E^j$$

در رابطه فوق T نماد دمای هوا و E نماد درصد هوای اضافی است.برای به دست آوردن این رابطه لازم است عملیات برآش روی متغيرهای دما و هوای اضافی انجام شود که نتیجه حاصل از انجام عملیات برآش به دست آوردن ضرایب و درجه چند جمله ای فوق می باشد.لذا باید با استفاده از نتایج قسمت قبل (نتایج مربوط به تغییرات میزان تولید آلایinde هادر اثر تغییرات دما و هوای اضافی) این رابطه را به دست آورده برای تشكيل 5 نوع تابع هدف ، 5 بار عملیات برآش را انجام داد. با توجه به شکل داده های قسمت قبل تابع هدف را یک تابع درجه 3 از دما و هوای اضافی فرض می کنیم.

$$\text{Objective Function} = \alpha + a_3 T^3 + a_2 T^2 + a_1 T + b_3 E^3 + b_2 E^2 + b_1 E$$

برای انجام عمل برآش لازم است که رابطه فوق به یک رابطه خطی از E و T تبدیل شود.لذا با اعمال تغییرات زیر این رابطه خطی به دست می آید.[7و8]

$$x_1=1 ; x_2=T^1 ; x_3=T^2 ; x_4=T^3 ; x_5=E^1 ; x_6=E^2 ; x_7=E^3 \\ \beta_1=\alpha ; \beta_2=a_1 ; \beta_3=a_2 ; \beta_4=a_3 ; \beta_5=b_1 ; \beta_6=b_2 ; \beta_7=b_3$$

از آنجا که مقدار تابع هدف فوق نرخ تولید آلایinde ها در دما و درصد هوای اضافی مشخص می باشد لذا این مقدار را برای انجام محاسبات با Y نشان می دهیم.در نتیجه خواهیم داشت:

$$Y=X\beta + \xi \quad \xi = \text{random error}$$

شكل ماتریسی معادله فوق به صورت زیر خواهد بود.

$$Y = \begin{bmatrix} Y_1 \\ Y_2 \\ M \\ M \\ Y_n \end{bmatrix} \quad X = \begin{bmatrix} x_{11} & x_{12} & K & K & x_{1p} \\ x_{21} & x_{22} & K & K & x_{2p} \\ M & M & & & M \\ M & M & & & M \\ x_{n1} & x_{n2} & K & K & x_{np} \end{bmatrix} \quad \beta = \begin{bmatrix} \beta_1 \\ \beta_2 \\ M \\ M \\ \beta_n \end{bmatrix}$$

در معادله فوق مجھول ماتریس  $\beta$  می باشد که پس از انجام عملیات برازش با استفاده از رابطه زیر به دست می آید.  
 $\beta = (X^T X)^{-1} X^T Y$

این توابع با استفاده از عملیات برازش غیرخطی توابع چند متغیره<sup>۱</sup> به دست می آیند.

### 3-2- تشکیل مدل مسئله بهینه سازی

برای تشکیل مدل مسئله بهینه سازی لازم است معادلات محدودیت مشخص شود تا تابع هدف به همراه محدودیت های موردنظر مدل مسئله را تشکیل دهند. شکل عمومی مدل مسئله عبارتست از:

Objective Function =  $f(T, E)$ ;

Subject to:  $h_i(T, E) = b_i, \quad i=1, \dots, m$  (مجموعه معادلات موجود)

$g_j(T, E) \leq c_j, \quad j=1, \dots, n$  (مجموعه نامعادلات موجود)

محدودیتهای موردنظر عبارتنداز دو حد بالایی و پایینی برای دمای هوای خروجی از پیش گرمکن و درصد هوای اضافی با در نظر گرفتن این محدودیتها مدل مسئله به صورت زیر خواهد بود.

Minimize  $F(T, E)$

Subject to:

$$300 \leq T_{air} (\text{°K})$$

$$0 \leq Excess air \% \leq 100$$

برای انجام عملیات بهینه سازی از روش تابع پنالتی استفاده شده است که در ابتدا باید تابع پنالتی تهیه شود. با استفاده از روش Augmented Lagrangian Function است. [7]

Minimize.:

$$\text{Penalty function} = P(T, E, r, w) = f(T, E) + \left( \sum_{j=1}^m w_j h_j(T, E) + \frac{r}{2} \sum_{j=1}^n h_j^2 \right)$$

معادلات محدودیت که از نوع نامساوی هستند توسط متغیرهای کمکی<sup>۲</sup> به تساوی تبدیل می شوند.

$$h_1 : T - 300 - s_1 = 0$$

$$h_2 : E - 100 + s_2 = 0$$

$$h_3 : E - s_3 = 0$$

به این ترتیب مدل مسئله برای هریک از توابع هدف و برای هر سه نوع سوخت تهیه شده و عملیات بهینه سازی با استفاده از روش تابع پنالتی انجام می شود.

### 3-3- روش حل تابع پنالتی

1- Nonlinear Multiple Regression Method  
2- Slack Variables

مراحل حل یک مسئله با روش پنالتی به صورت زیر می باشد.

-الف-

1- حدس مقدار اولیه برای متغیر مورد نظر ( $X^0$ )

2- حدس مقدار اولیه برای پارامتر پنالتی ( $r^0$ )

ب- تشکیل تابع پنالتی

$$P(x,r) = f(x) + \Omega[r, g(x), h(x)]$$

پ- محاسبه  $X^{k+1}$  به طوری که  $P(x^{k+1}, r^k)$  حداقل باشد.

ت- مقایسه تفاضل  $(P(x^k, r^{k-1}) - P(x^{k+1}, r^k))$  با یک مقدار معین ( $\epsilon$ ) به عنوان تولرانس مجاز.

اگر مقدار  $|P(x^k, r^{k-1}) - P(x^{k+1}, r^k)|$  کمتر یا مساوی  $\epsilon$  باشد محاسبات به پایان می رسد و در غیر این صورت محاسبات ادامه می یابد.

ث- با جانشینی کردن متغیرهای جدید مطابق زیرالگوریتم مجددًا از مرحله ب آغاز می شود.

$$r^{k+1} = r^k + \Delta r^k$$

$$r^{k+1} = n r^k$$

مقدار  $n$  با توجه به نتایج به دست آمده می تواند سیر نزولی یا صعودی داشته باشد. [7]  
 برای انجام کلیه مراحل فوق الگوریتمی تهیه شده که بر اساس این آن یک برنامه کامپیوتی نوشته شده است. در ادامه با اجرای این برنامه برای سوخت مورد نظر (نفت کوره) نتایج حاصل از آن ارائه شده است. سوخت های دیگر نیز مورد بررسی قرار گرفته و تنها نتایج به دست آمده در پایان این نوشتار ارائه شده است.

### 3-4- اجرای برنامه کامپیوتی برای نمونه مورد نظر و نتایج آن

با انتخاب نفت کوره به عنوان نمونه مورد نظر اجرای برنامه کامپیوتی که از الگوریتم فوق پیروی می کند، نتایج حاصل از انجام عملیات بهینه سازی برای نفت کوره ارائه شده است. همان طور که در نمودار گردش عملیات برنامه نشان داده شده است، اولین گام در اجرای برنامه، انتخاب نوع سوخت و ورود اطلاعات مربوط به هریک از سوخت ها می باشد. مشخصات سوخت های مورد بررسی عبارتند از:

جدول 1- ترکیب درصد گاز طبیعی (mol%)

$CH_4$	$C_2H_6$	$C_3H_8$	$C_4H_{10}$	$nC_{5,I}-C_5, C_5^+$	$CO_2$	$N_2$	$Heating\ Value(Kcal/m^3)$
86/14	9/34	3/25	0/25	0/55	0/47	0	10000

جدول 2- ترکیب درصد گازوئیل (mol%)

$C$	$H$	$N$	$S$	$O$	$H/C$	$Heating\ Value(Kj/Kg)$
83/61	15/39	-	1	-	0/184	100733/65

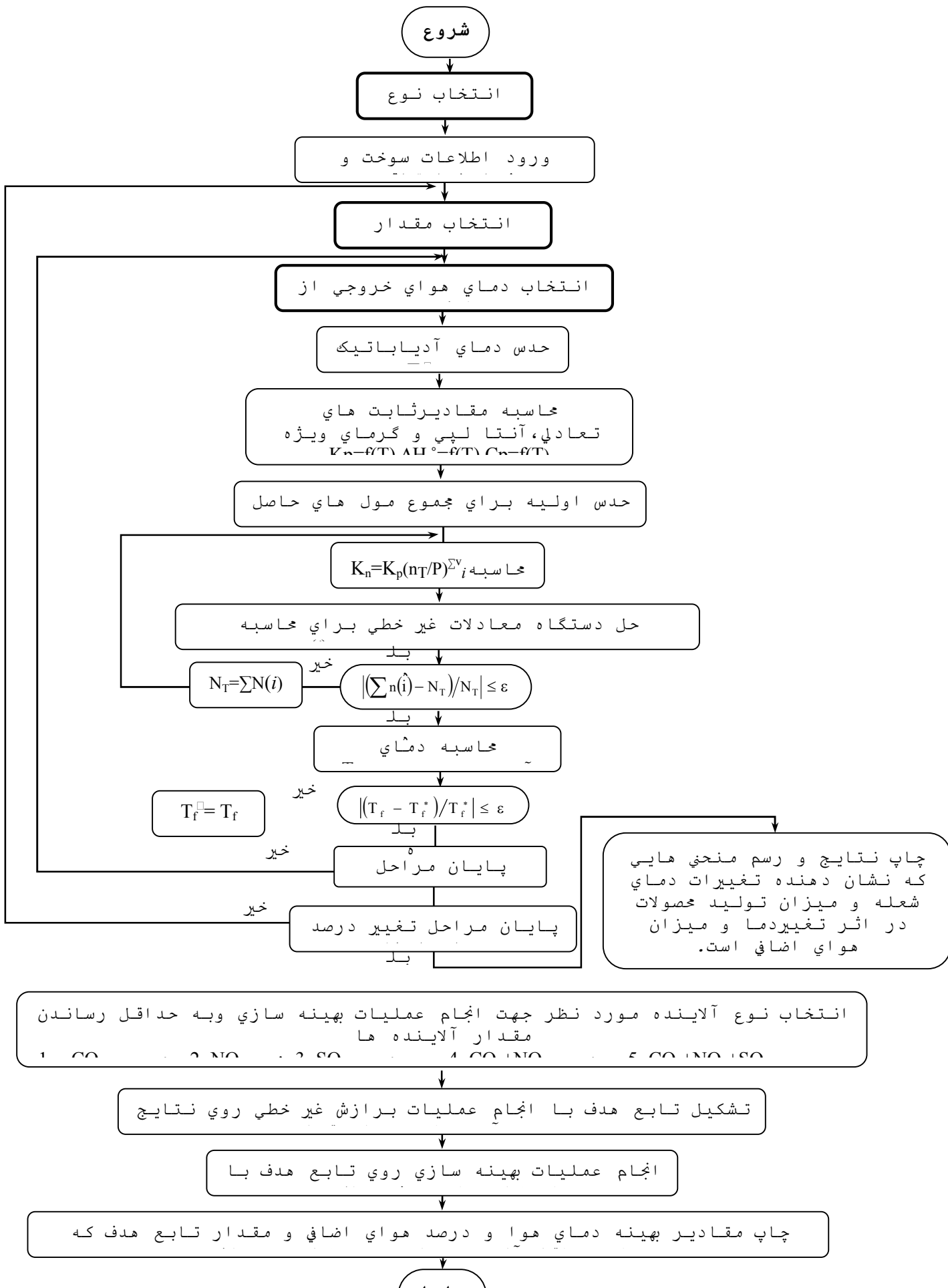
جدول 3- ترکیب درصد نفت کوره (wt%)

$C$	$H$	$N$	$S$	$O$	$H/C$	$Heating\ Value(Kj/Kg)$
86/89	10/86	-	2/25	-	0/125	39690

جدول 4- انتخاب مبنا

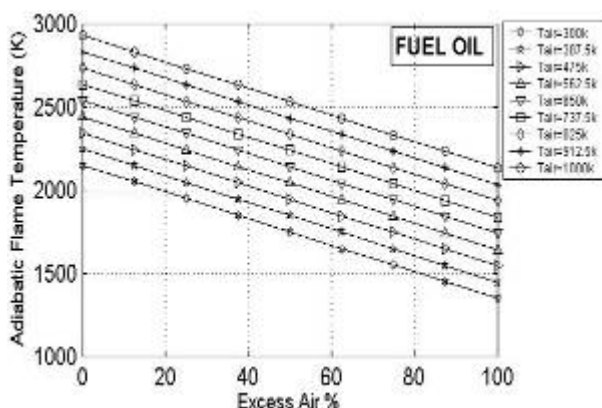
نفت کوره	گازوئیل	گاز طبیعی	نوع سوخت
----------	---------	-----------	----------

مبنا	1 mole/hr	100Kg/hr	100Kg/hr
------	-----------	----------	----------

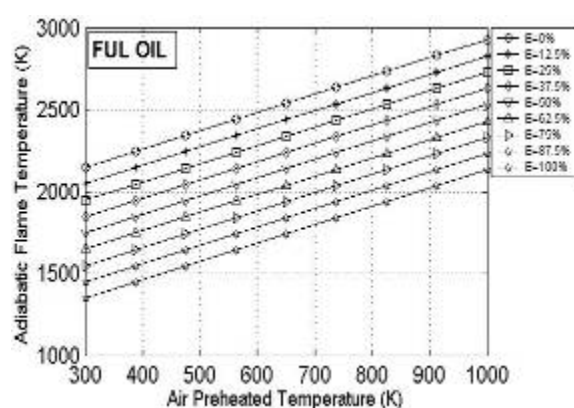


### 3- نتایج مربوط به محاسبه ترکیبات حاصل از احتراق

پس از انجام محاسبات مربوط به دمای آدیاباتیک شعله و تعداد مول های حاصل از احتراق تاثیرات ناشی از تغییر دمای هوای خروجی از پیش گرمکن و درصد هوای اضافی به صورت نمودارهایی برای هرسه نوع سوخت نمایش داده می شوند. در ادامه این نمودارها برای نشان دادن تغییرات  $CO_x$ ,  $NO_x$  و  $SO_x$  برای نفت کوره رائه شده است.



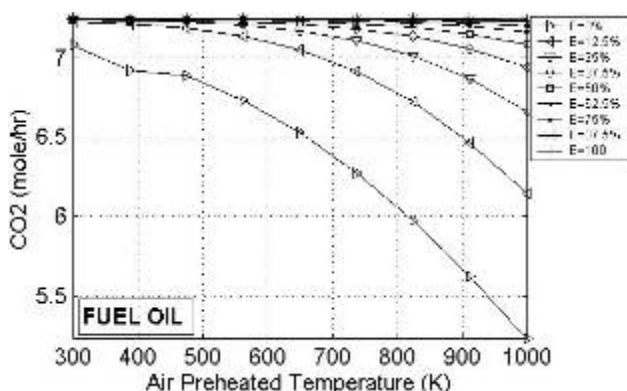
شکل 2- اثر افزایش درصد هوای اضافی بر دمای آدیاباتیک شعله



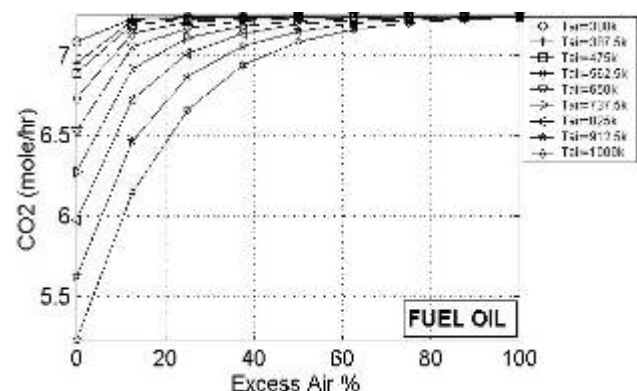
شکل 1- اثر افزایش دمای هوای آدیاباتیک شعله

شعله

شکل 1 و 2 اثر افزایش دمای هوای خروجی از پیش گرمکن و هوای اضافی رابر دمای آدیاباتیک شعله در سوخت نفت کوره نشان می دهند. همان طور که مشاهده می شود با افزایش دمای هوای آدیاباتیک شعله افزایش و با افزایش هوای اضافی دمای آدیاباتیک شعله کاهش می یابد.

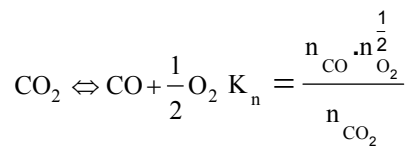


شکل 4- اثر افزایش درصد هوای اضافی بر تولید  $CO_2$

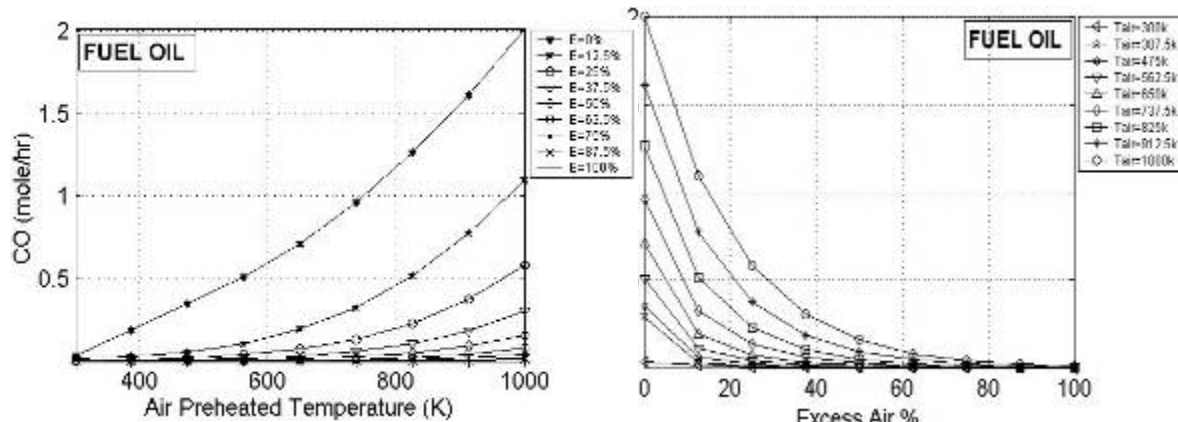


شکل 3- اثر افزایش درصد هوای اضافی بر تولید  $CO_2$

شکل 3 و 4 اثر افزایش دمای هوا ی خروجی از پیش گرمکن و درصد هوای اضافی را بر میزان تولید CO<sub>2</sub> نشان می‌دهد.. همان طور که مشاهده می‌شود با افزایش دمای هوا میزان تولید CO<sub>2</sub> کاهش یافته و بالافزایش درصد هوای اضافی میزان تولید CO<sub>2</sub> افزایش می‌یابد که این مطلب با توجه به واکنش تعادلی زیر قابل توجیه است.

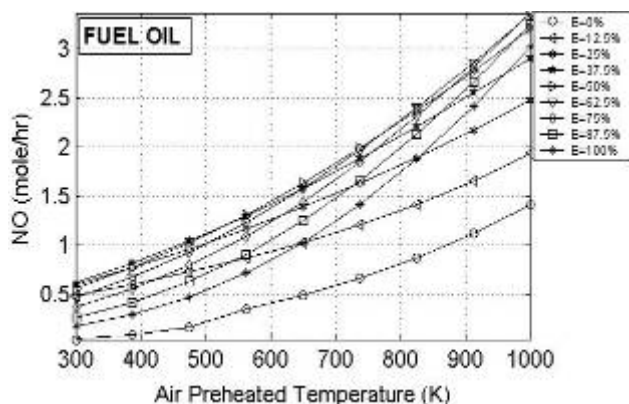


با افزایش دمای هوا ورودی آدیباتیک شعله افزایش می یابد. لذا ثابت تعادل واکنش افزایش یافته که نتیجه آن جابجایی واکنش به سمت راست و کاهش میزان تولید  $\text{CO}_2$  و افزایش میزان تولید  $\text{CO}$  خواهد بود. با افزایش درصد هوا اضافی دمای آدیباتیک شعله و ثابت تعادل کاهش می یابد که نتیجه آن افزایش میزان تولید  $\text{CO}_2$  و کاهش میزان تولید  $\text{CO}$  خواهد بود.

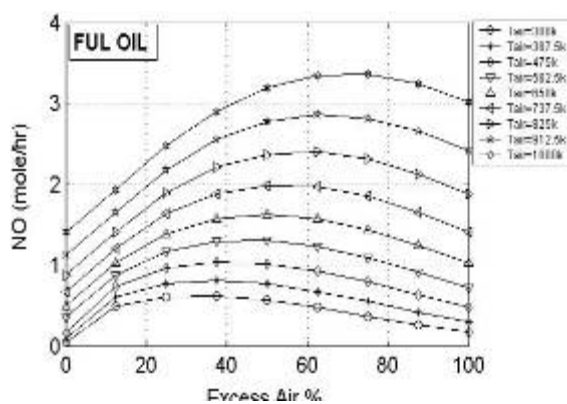


شکل 6- اثر افزایش درصد هوا بر تولید  $\text{CO}$

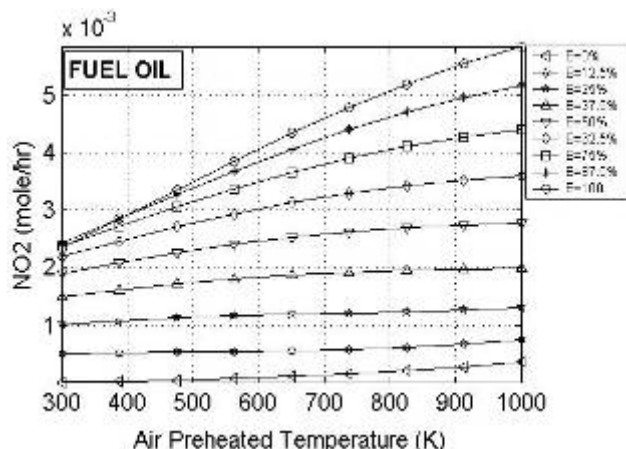
شکل 5- اثر افزایش درصد هوا اضافی بر تولید  $\text{CO}$



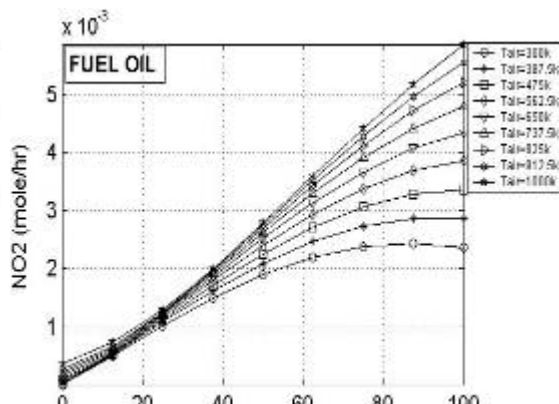
شکل 8- اثر افزایش دمای هوا بر تولید  $\text{NO}$



شکل 7- اثر افزایش درصد هوا اضافی بر تولید  $\text{NO}$

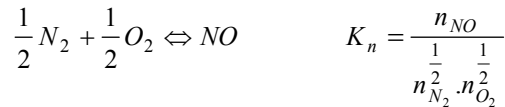


شکل 10- اثر افزایش دمای هوا بر تولید  $\text{NO}_2$



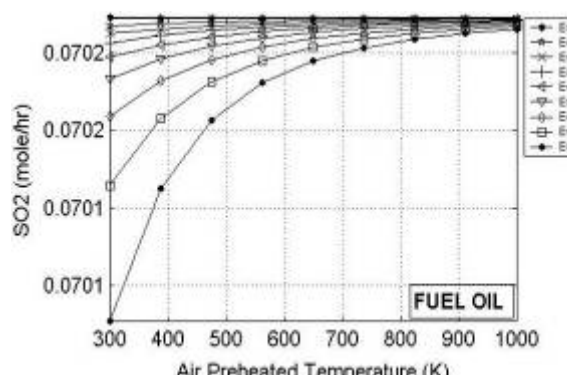
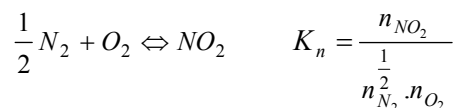
شکل 9- اثر افزایش درصد هوا اضافی بر تولید  $\text{NO}_2$

شکل 7 و 8 اثر افزایش دمای هوا بر اضافی تولید NO نشان می‌دهد. همان طور که مشاهده می‌شود با افزایش دمای هوا ورودی میزان تولید NO کاهش می‌یابد و با افزایش درصد هوا اضافی میزان تولید NO ابتدا افزایش و سپس کاهش می‌یابد که این مطلب با توجه به واکنش تعادلی زیر قابل توجیه است.

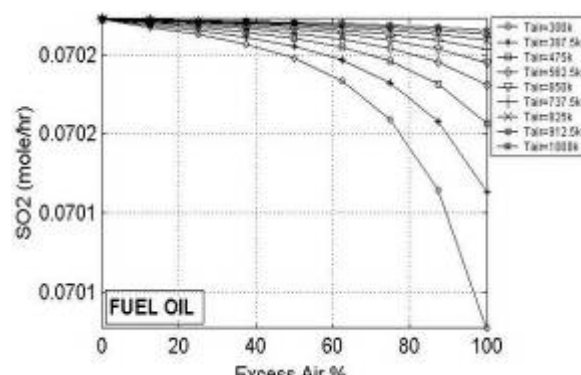


در معادله تعادلی فوق  $N_2 + O_2 \rightleftharpoons NO$  دو مورد ثابت تأثیر گذار است. با توجه به این که با افزایش درصد هوا اضافی ثابت تعادل کاهش می‌یابد لذا میزان تولید NO کاهش می‌یابد و از طرف دیگر با افزایش مقدار  $N_2 + O_2$  از میزان تولید NO کاسته می‌شود. در سمت چپ منحنی 7 مورد دوم کنترل کننده است که مقدار NO افزایش یافته و در سمت راست منحنی مورد اول کنترل کننده است که باعث کاهش مقدار NO می‌شود. با افزایش دمای هوا ورودی نیز دمای آدیباتیک شعله افزایش می‌یابد. لذا ثابت تعادل واکنش افزایش یافته که نتیجه آن جابجایی واکنش به سمت راست و افزایش تولید NO می‌باشد.

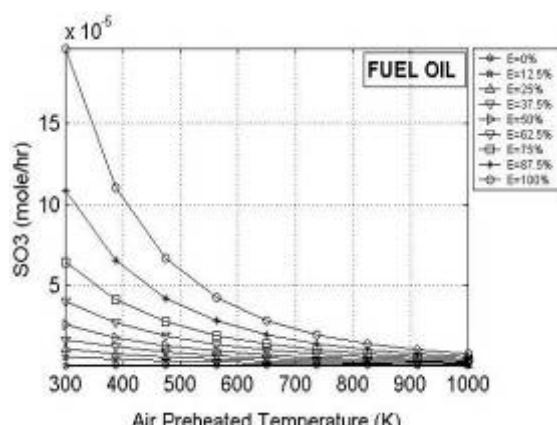
تغییرات میزان تولید  $NO_2$  در اثر تغییرات دمای هوا و درصد هوا اضافی نیز در ادامه نشان داده شده که با توجه به واکنش تعادلی زیر و توضیحات فوق قابل توجیه است.



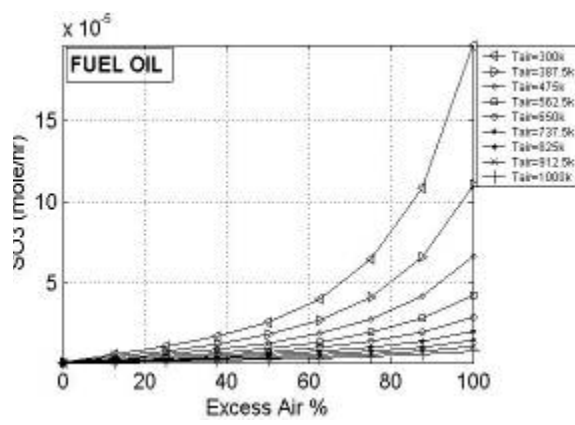
شکل 12- اثر افزایش دمای هوا بر تولید  $SO_2$



شکل 11- اثر افزایش درصد هوا اضافی بر تولید  $SO_2$



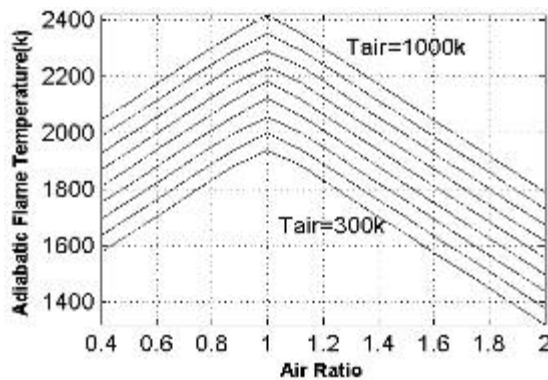
شکل 14- اثر افزایش دمای هوا بر تولید  $SO_3$



شکل 13- اثر افزایش درصد هوا اضافی بر تولید  $SO_3$

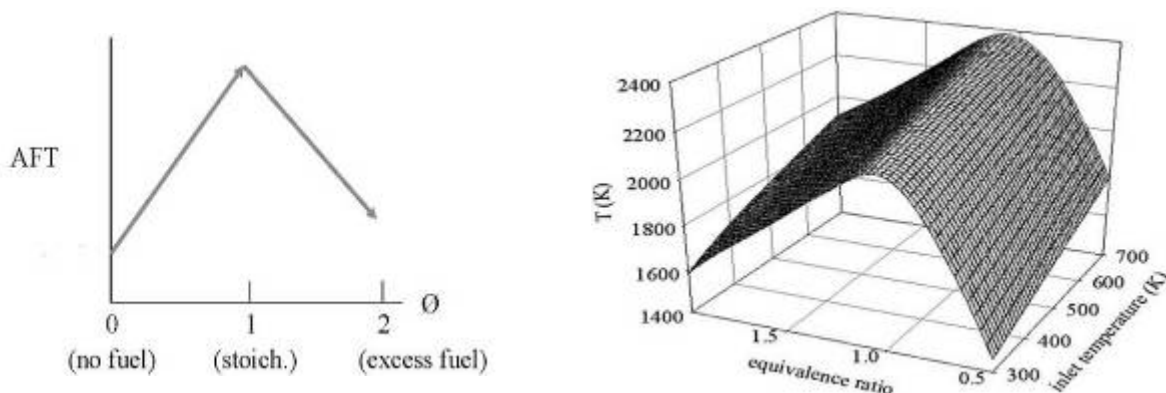
### 6-3- مقایسه نتایج به دست آمده با نتایج تجربی

شکل زیر که از نتایج حاصل از اجرای برنامه کامپیوتری است بیانگراین مطلب است که در صورتی که مقدار هوای اضافی بیشتر از مقدار استوکیومتری باشد با افزایش هوای اضافی، دمای آدیاباتیک شعله کاهش می یابد و در صورتی که مقدار هوای اضافی کمتر از مقدار استوکیومتری باشد دمای آدیاباتیک شعله با افزایش هوای اضافی افزایش می یابد.



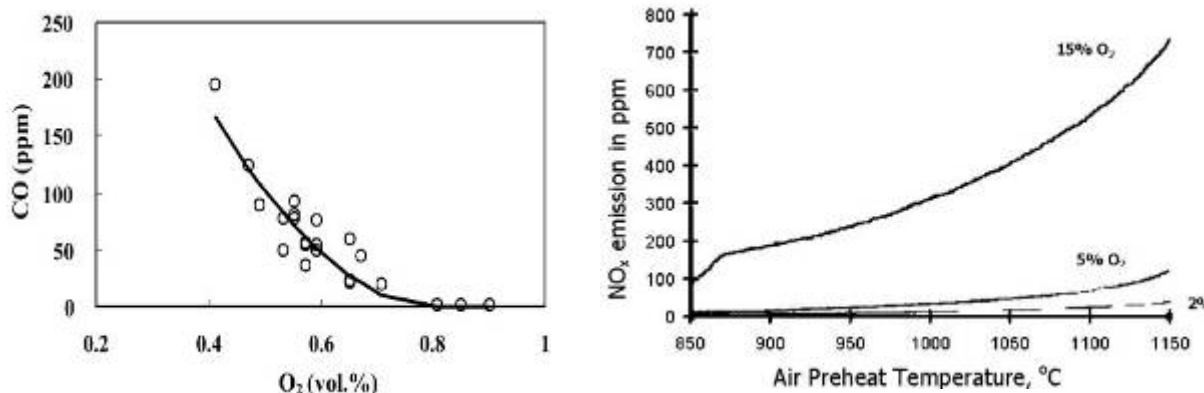
شکل 15- اثر افزایش دما و هوای اضافی بر دمای آدیاباتیک شعله

مقایسه نتایج فوق با نتایج تجربی که در شکل های 16 و 17 آرائه شده است نشان دهنده صحت نتایج به دست آمده است.



شکل 16- اثر افزایش دما و هوای اضافی بر دمای آدیاباتیک شعله [3]      شکل 17- تغییرات دمای آدیاباتیک شعله با تغییرات هوای اضافی [4]

شکل 18 نشان دهنده اثر افزایش دمای هوای اضافی بر تولید  $NO_x$  و شکل 19 نشان دهنده اثر افزایش هوای اضافی بر تولید  $CO$  می باشد. مقایسه این نتایج تجربی با نتایج تئوری به دست آمده (شکل های 9، 5 و 10) نشان می دهد که نتایج تجربی با نتایج به دست آمده تطابق دارد.



شکل 19- تاثیر افزایش هوا و هوای اضافی بر میزان تولید CO در احتراق نفت کوره [6]

شکل 18- تاثیر افزایش دمای هوا و هوای اضافی بر میزان تولید NO<sub>x</sub> در احتراق نفت کوره [5]

با توجه به نتایج فوق تابع هدف برای کلیه ترکیبات آلاینده (SO<sub>x</sub>, NO<sub>x</sub>, CO<sub>x</sub>) به دست می آید. دامنه تغییرات دمای هوا در نتایج ارائه شده از 300 تا 1000 درجه کلوین و دامنه تغییرات درصد هوای اضافی از 0 تا 100 درصد می باشد.

جدول 5- تشکیل تابع هدف برای نفت کوره

(O.F.) <sub>COx</sub>	$1/018593 \times 10^{-7} T^3 - 6/62136 \times 10^{-5} T^2 + 0/02081798 T$ $- 6/03206 \times 10^{-5} E^3 + 0/00223817 E^2 - 0/027180E + 7/1128102$
(O.F.) <sub>NOx</sub>	$-4/3 10^{-13} \times T^3 + 2/56773 \times 10^{-6} T^2 + 5/21453 \times 10^{-5} T$ $+ 3/661922 \times 10^{-6} E^3 - 9/465194 \times 10^{-4} E^2 + 0/0609245E + 0/04084979$
(O.F.) <sub>SOx</sub>	$-1/7 \times 10^{-16} T^3 + 4/8 \times 10^{-16} T^2 - 2/59999 \times 10^{-16} T$ $- 1/90999 \times 10^{-15} E^3 - 4/84999 \times 10^{-15} E^2 - 1/59 \times 10^{-15} E + 0/702734$
(O.F.) <sub>COx+NOx</sub>	$1/018589 \times 10^{-7} T^3 - 6/36458 \times 10^{-5} T^2 + 0/020870 \times 10^{-3} T$ $- 5/95438 \times 10^{-5} E^3 + 0/0012916E^2 + 0/0337438 E + 7/15366$
(O.F.) <sub>COx+NOx+SOx</sub>	$1/018589 \times 10^{-7} T^3 - 6/36458 \times 10^{-5} T^2 + 0/020870 \times 10^{-3} T$ $- 5/95438 \times 10^{-5} E^3 + 0/0012916E^2 + 0/0337438 E + 7/32393$

### 7-3- نتایج بهینه سازی

جداول زیر حاوی نتایج حاصل از انجام عملیات بهینه سازی به منظور کاهش میزان تولید آلاینده ها است.

جدول 6- نتایج بهینه سازی برای سوخت نفت کوره

نوع ترکیب	CO <sub>x</sub>	NO <sub>x</sub>	SO <sub>x</sub>	CO <sub>x</sub> +NO <sub>x</sub>	CO <sub>x</sub> +NO <sub>x</sub> +SO <sub>x</sub>
(K) دمای هوا	540	300	376	360	370
درصد هوای اضافی	9/10	0	4/95	3/90	3/95
(mole/hr) مقدار آلاینده	9/41217	0/0842	0/0702734	10/15451	10/2476

با انجام محاسبات فوق برای گاز طبیعی و گازوئیل می توان به نتایج مشابه دست یافت که در جداول زیر راهه شده است.

**جدول 7- نتایج بهینه سازی برای سوخت گاز طبیعی**

نوع ترکیب	$\text{CO}_x$	$\text{NO}_x$	$\text{CO}_x + \text{NO}_x$
(K) دمای هوا	420	300	370
درصد هوای اضافی	8/80	0	4/87
(mole/hr) مقدار آلاینده	5/87642	0/02679	6/1263

**جدول 8- نتایج بهینه سازی برای سوخت گازوئیل**

نوع ترکیب	$\text{CO}_x$	$\text{NO}_x$	$\text{SO}_x$	$\text{CO}_x + \text{NO}_x$	$\text{O}_x + \text{NO}_x + \text{SO}_x$
(K) دمای هوا	490	300	370	330	337
درصد هوای اضافی	10/4	0	5/6	3/3	3/1
(mole/hr) مقدار آلاینده	6/92353	0/058014	0/03125	7/6249	7/6636

با استفاده از نتایج موجود در جداول فوق می توان شرایط بهینه ای را که تحت آن شرایط میزان تولید آلاینده های حاصل از احتراق حداقل می شوند انتخاب کرد. با توجه به این نتایج مشاهده می شود همانگونه که انتظار می رود میزان تولید ترکیبات آلاینده ناشی از احتراق نفت کوره بیشتر از گازوئیل و گاز طبیعی است. بنابراین می توان گفت که گاز طبیعی سهم کمتری در آلودگی محیط زیست نسبت به گازوئیل و نفت کوره دارد. از سوی دیگر درصد هوای اضافی کمتر و مدامی پایین تر هوای پیشگرم در مورد تمام انواع سوخت ها باعث کاهش مقدار  $\text{NO}_x$  می شود. در حالیکه درصد هوای اضافی بیشتر باعث افزایش  $\text{CO}_x$  و دمای هوای بالاتر پیش گرم در مورد تمام انواع سوخت ها باعث کاهش مقدار  $\text{CO}_x$  می شود.

## مراجع

- 1-Roger A.Strehlow,"Combustion Fundamentals", McGraw-Hill International Editions,1984.
- 2-J.M.Smith,"Introduction to Chemical Engineering Thermodynamics",4<sup>th</sup> ed.Mc Graw Hill.
- M.A.Cremer,M.J.Bockelie,"A Computational Problem Solving Environmental for Creating and Testing Reduced Chemical Kinetic Mechanisms", November 2001.
- 4-M.Klassen,"Combustion Fundamentals",Combustion Science & Engineerin,Inc.
- A.K.Gupt,"Flame Characteristics and challenges with High Temperature Air Combustion", Proceedings of 2000 International joint power generation conference.
- 6-W.Laewboonsong,V.I.Kouprianov,"Minimizaing Fuel and "External"Costs of a Variable-Load Utility Boiler Firing Fuel Oil",International journal of thermal science,2002.
- 7-D.M Himmelblaw,T.E.Edgar,"Optimization of Chemical Process",Mc Graw Hill, International Editions,1989.
- 8-D.Birkes,Y.Dodge,"Alternative Methods of Regression",Wiley,Inc.1993.